- β-sialon from kaolinite and halloysite // J. Mater. Sci., 1994. V. 29. no. 10. p. 2611–2619.
- 4. Швейкин Г.П., Переляев В.А. Переработка минерального и техногенного сырья кар-ботермическим восстановлением // Известия РАН. Серия химическая., 1997. №2. с. 223—245.
- Анциферов В.Н., Гилев В.Г. Мембраннопорис:тые материалы из сиалона // Огнеупоры и техническая керамика. 2001. №2. с. 2—8.
- 6. Zheng J., Forslund B. Carbothermal preparation of β-SiAlON powder at elevated nitrogen pressures // Journal of European Ceramic Society, 1999. V. 19. p. 175–185.
- 7. Анциферов В.Н., Гилев В.Г., Беккер В.Я., Филимонова И.В. Исследование синтеза сиалона из каолина карботермическим

- восстановлением и одновременным азотированном // Огнеупоры и техническая керамика. 2000. №10. с. 6—12.
- 8. Daniel H. Filsinger, Daniel B. Bourrie. Silica to silicon: key carbothermic reactions and kinetics // J. Am. Ceram. Soc., 1990. V. 73. no. 6. p. 1726–1732.
- 9. Долгушев Н.В., Суворов С.А. Влияние характеристического размера фаз на твердофазные реакции: VII Международная конференция: Высокотемпературная химия силикатов и оксидов. Санкт-Петербург, 1998. с. 40.
- 10. Долгушев Н.В., Суворов С.А. Низкоразмерное состояние вещества: свойства, описание, параметризация. Санкт-Петербург: Издательство Санкт-Петербургского университета, 2001. 190 с.

УДК 621.762.4

ОСОБЕННОСТИ РАЗРУШЕНИЯ ПОЛИКРИСТАЛЛИЧЕСКОЙ КЕРАМИКИ ZrO₂

© В.И. Барбашов, Г.А. Гогоци, канд. физ.-мат. наук Г.Я. Акимов, В.М. Тимченко, Э.В. Чайка

Донецкий физико-технический институт им. А.А. Галкина НАН Украины

Методами микроиндентирования и изгиба образца с надрезом изучалось влияние нагрузки на индентор F и радиуса V-образного надреза r на коэффициент трещиностойкости K_{IC} керамики ZrO_2+3 мол.% $\operatorname{Y}_2\operatorname{O}_3$. Исследования проводили на материале, состоящем полностью из тетрагональной фазы (T-фаза), и материале с содержанием T-фазы в количестве 70–80%. Показано, что для обоих материалов рост F и уменьшение r приводит к снижению K_{IC} . Установлено, что большая чувствительность K_{IC} к изменению F и r наблюдается в образцах с большим содержанием T-фазы. Обнаруженный эффект объясняется количеством содержащейся T-фазы, склонной к мартенситному превращению, определяющему величину K_{IC} .

В последнее время заметно возрос интерес к исследованию физико-механических свойств керамических материалов. Причиной актуальности таких исследований является, во-первых, существенный рост объемов производства керамических изделий конструкционного и инструментального назначения и все более расширяющаяся область их применения, а во-вторых, использование в технологии получения керамики нанокристаллических порошков, что приводит к существенному росту не только физико-механических свойств материала, но и, что представляется особенно важным, повышению его стабильности. Последнее обстоятельство способствовало расширению объемов физических исследований, поскольку воспроизводимость механических свойств керамических материалов стала в значительной степени регулируемым параметром, определяющим сферу их применения [1]. Доказательства этого утверждения можно найти в целом ряде работ, в которых было показано, что использование различных методик и лабораторного оборудования не повлекли за собой заметного разброса экспериментальных данных [2].

В настоящей работе объектом исследования физико-механических свойств служила керамика на основе ZrO_2 , легированного 3 мол.% Y_2O_3 , полученная спеканием нанокристаллических порошков фирмы «Tosoh» с размером кристаллитов менее 30 нм и порошка Вольногорского ГМК с кристаллитами менее 100 нм. Весь цикл изготовления образцов осуществлялся с использованием холодного изостатического прессования и специального режима спекания. Образцы для исследований имели стандартные размеры $3\times4\times40$ мм³.



Г.Я. Акимов

Методом рентгеновского фазового анализа было установлено, что образцы фирмы «Tosoh» находились в тетрагональной (T) фазе, в то время как в порошках Вольногорского ГМК содержание тетрагональной фазы составляло лишь 70-80%, а остальной материал был в моноклинной (М) и кубической (К) фазах.

Методом микроиндентирования и изгибными испытаниями (3- и 4-опорный изгиб образца с надрезом) изучена зависимость коэффициента трещиностойкости K_{IC} от величины внешнего усилия на индентор F и диаметра V-образного надреза d. Индентирование осуществлялось стандартной алмазной пирамидкой Виккерса при значениях F, равных 40-300 МПа. Последующие измерения диагонали отпечатка 2а и длины радиальной трещины с позволили с помощью соотношения (1) определить K_{IC} [3]:

$$K_{IC} = 0.018 \left(\frac{E}{H_V}\right)^{0.5} \frac{F}{c^{1.5}},$$
 (1)

где: E — модуль упругости, H_V — твердость по Виккерсу.

Изгибные эксперименты по измерению K_{IC} осуществлялись по методике SEVNB, суть которой состоит в нанесении на поверхности образца V-образного надреза глубиной b, равной 0.8-1.6 мм [4]. Заключительным этапом формирования надреза явился процесс шлифовки шаблоном (обычно ис-

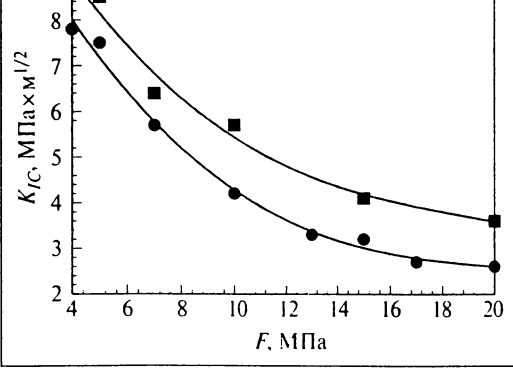


Рис. 2. Зависимость коэффициента трещиностойкости K_{IC} от величины радиуса rV-образного надреза: 1 — керамика, содержащая 100% Т-фазы; 2 - керамика, содержащая 70-80% Т-фазы

Рис. 1.

лия *F*:

Зависимость коэффици-

ента трещиностойкости

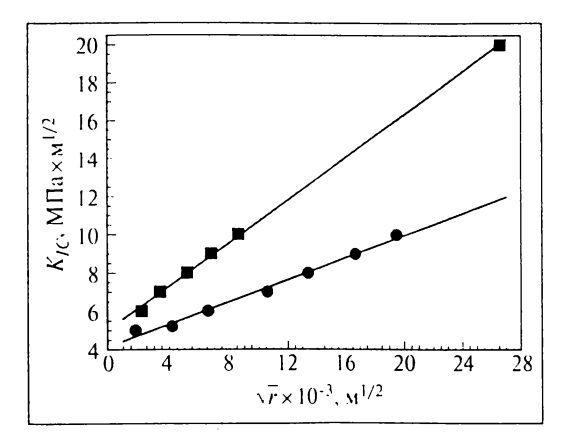
Кис от величины прило-

женного к индентору уси-

1 — керамика, содержащая 100% Т-фазы;

2 — керамика, содержа-

щая 70-80% Т-фазы



пользовалось лезвие бритвы), который позволял создать заданный радиус кривизны профиля надреза d. Полученные значения варьировались в интервале 3-200 мкм. В случае трехопорного изгиба величина K_{IC} определялась по формуле [2]:

$$K_{IC} = \frac{3F_{\text{max}}S_0}{2RW^{1.5}} \times d^{0.5}g(a),$$
 (2)

где W — толщина образца, F_{\max} — разрушающая нагрузка, S_0 — расстояние между опорами при испытании,

$$\alpha = \frac{b}{W} = 0,45 \div 0,55,$$

$$g(\alpha) = \frac{1,99 - \alpha(1 - \alpha)(2,15 - 3,93\alpha + 2,7a^2)}{(1 - 2\alpha)(1 - \alpha)^{1.5}}.$$

Для 4-опорного изгиба соответствующие выражения имеют вид:

$$K_{IC} = \frac{F_{\text{max}}}{BW^{0,5}} \frac{S_0 - S_1}{w}$$
 (3)

где S_1 — расстояние между нагружающими опорами.

$$\alpha = \frac{b}{W} = 0,2 \div 0,3,$$

$$y(\alpha) = 1,9887 - 1,326\alpha - \frac{(3,49 - 0,68\alpha + 1,35\alpha^2)(1-\alpha)\alpha}{(1+\alpha)^2}.$$
 На рис. 1 представлена зависимость K_{IC}

для исследуемой керамики от величины нагрузки на индентор. Видно, что для обоих типов керамики рост усилия на индентор до 300 МПа приводит к уменьшению значения K_{IC} в 2,5-3 раза. Полученный результат свидетельствует о качественно иной зависимости K_{IC} (F), наблюдаемой ранее в других высокопрочных поликристаллах, монокристаллах и стеклах [5, 6], для которых K_{IC} = const в широкой области изменения F.

На рис. 2 приведены зависимости K_{IC} от величины радиуса V-образного надреза, полученные из испытаний на изгиб (отметим, что методы 4- и 3-опорных изгибов дают одинаковые результаты). Как видно на рисунке, указанные зависимости хорошо аппроксимируются линейной функцией в координатах $K_{IC} = f(\sqrt{r})$. Следует отметить большую чувствительность коэффициента трещиностойкости к диаметру надреза для однофазной керамики. Известно [7], что в теории зарождения и роста трещин используются два критерия - силовой и энергетический. Силовой критерий предполагает выполнение следующего условия: локальное напряжение в устье трещины о, должно превосходить напряжение теоретической прочности. Характеристикой энергетического критерия является поверхностная энергия у.

В механике разрушения критерием локального разрушения выступает коэффициент интенсивности напряжения K_{IC} , являющийся параметром прочностных свойств материала. Величина максимального напряжения в вершине трещины определяется соотношением

$$\sigma_{\text{max}} \approx \sigma \sqrt{\frac{c}{r}} \approx \frac{K}{\sqrt{r}}$$
, (4)

где c — длина трещины, σ — внешнее напряжение, r — радиус кривизны кончика трещины.

Распространение трещины будет происходить при условии

$$K \ge K_{KD} \cong \sigma_0 \sqrt{r}$$
, (5)

где $\sigma_0 = 0,1E$ — напряжение теоретической прочности.

Моделирование V-образным надрезом профиля трещины позволяет установить зависимость между радиусом закругления (при неизменной глубине надреза) и вязкостью разрушения K_{IC} , определяемой для случая нормального воздействия внешнего напряжения на края трещины.

Анализируя полученные зависимости, можно сделать вывод, что методика испытаний на изгиб позволяет получить качественно совпадающие c теорией зависимости $K_{IC} = f(r)$. Этот результат свидетельствует об отсутствии или незначительном влиянии релаксационных процессов как по краям трещины (отсутствие пластической деформации), так и в ее устье. Разная чувствительность для различных партий образцов обусловлена, повидимому, различным фазовым составом. Известно, что воздействие механических напряжений активирует проявление механизма трансформационного упрочнения. Для кристаллов частично стабилизированного диоксида циркония (ЧСДЦ) это связано с активизацией перехода из тетрагонального в моноклинную фазу. Наиболее интенсивно этот процесс будет происходить в устье трещины месте наибольшей концентрации внешних напряжений. В рамках этой модели большая чувствительность будет наблюдаться в образцах, имеющих больший процент тетрагональной фазы, что и наблюдается в эксперименте.

Обращает на себя внимание еще одна особенность приведенных зависимостей $K_{IC} = f(r)$ (рис. 2). При экстраполяции $r \rightarrow 0$ значения K_{IC} для обоих материалов примерно одинаковы и равны 4.7 ± 0.5 МПа×м^{1/2}. Этот результат также находит свое объяснение в рамках используемой модели: при значениях r, меньших диаметра кристаллитов, роль концентрации тетрагональной фазы как упрочняющего фактора минимальна.

Качественное соответствие полученных результатов с теоретической моделью, используемой в механике разрушения (5), свидетельствует о том, что процессы зарождения и роста уже имеющихся на поверхности образца трешин существенно затруднены. Этот вывод следует из того очевидного факта, что в

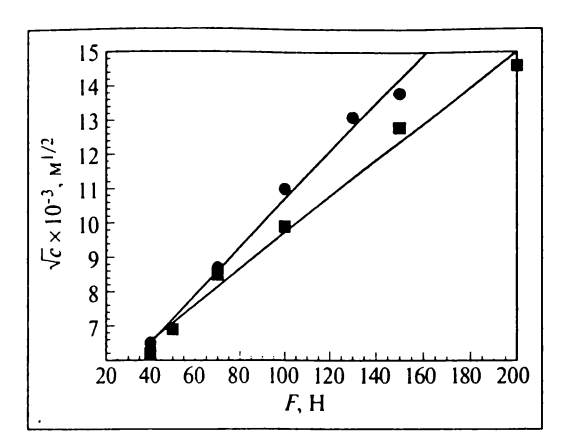


Рис. 3.
Зависимость длины трещины с от величины приложенного к индентору усилия *F*:

1 — керамика, содержащая 100% Т-фазы;

2 — керамика, содержащая 70–80% Т-фазы

керамических материалах радиус кончика трещины примерно равен α-межатомному расстоянию. А в отсутствии пластической деформации этот параметр должен оставаться неизменным. Следовательно, в экспериментах не должна была наблюдаться зависимость коэффициента вязкости разрушения от радиуса закругления V-образного надреза, поскольку во всех случаях $r \gg a$. Блокирование процессов зарождения и распространения микротрещин может происходить в керамике из ЧСДЦ только механизмом трансформационного упрочнения. В вершинах микротрещин под действием механических напряжений происходит переход тетрагональной фазы в моноклинную фазу, имеющую больший объем, что существенно изменяет условия роста трещины. По этой же причине затруднен процесс зарождения трещин на изогнутой поверхности образца, что доказано прямыми экспериментами [8].

Другим важным результатом настоящих исследований является установление факта зависимости коэффициента вязкости разрушения K_{IC} от величины усилия, приложенного к алмазному индентору. На рис. 3 представлена зависимость длины трещины с от усилия F, которая в координатах $c = f(F^2)$ хорошо аппроксимируется прямыми линиями.

Аналогичный характер зависимости длины трешины от приложенной нагрузки следует из модели устойчивого развития трешины [7]:

$$c = \frac{P^2}{2\pi E \gamma},\tag{6}$$

где P — две сосредоточенные растягивающие нагрузки, прикладываемые к краям трещины.

При достижении критического значения величины нагрузки происходит рост трещины. При этом трещина развивается постепенно, а ее длина будет пропорциональна квадрату нагрузки, что и наблюдается в эксперименте (см. рис. 3).

Противоречащая модельным представлениям зависимость коэффициента вязкости разрушения K_{IC} , являющегося парамет-

ром материала, от величины усилия, прикладываемого к индентору, дает основание сделать вывод о проблематичности использования метода микроиндентирования для изучения K_{IC} ЧСДЦ.

Наблюдаемая аномальная зависимость распространения трещин наблюдается и при исследовании их геометрии. Известно, что в ЧСДЦ «радиальные» трещины располагаются по глубине внедрения алмазного индентора. Столь значительные отличия в механизме трещинообразования в диоксиде циркония по сравнению с другими материалами объясняются только в рамках механизма, предполагающего активацию фазового перехода не только в устье трещины (Т—М переход), но и в зоне, находящейся непосредственно под индентором. Создаваемая величина квазигидростатического дав-

ления составляет ~10 ГПа, что превышает давление полиморфного перехода из моноклинной в ромбическую фазу (4 ГПа). Поскольку образцы находились преимущественно в тетрагональной фазе, то можно предположить, что в зоне под индентором возможно проявление Т—К фазового перехода, сопровождаемого также некоторым уменьшением объема.

В заключение необходимо отметить, что метод микроиндентирования с определенными допущениями может быть использован при исследовании прочностных свойств керамики из ЧСДЦ при условии выполнения экспериментов при F = const. Но даже в этом случае полученные данные будут носить скорее качественный характер. Возможность использования этого метода должна быть обоснована дальнейшими экспериментами.

БИБЛИОГРАФИЧЕСКИЙ СПИСОК

- 1. Гусев А.И. // УФН Т. 168. №1. С. 55 (1998).
- 2. Гогоци Г.А. // Огнеупоры и техническая керамика 1998, №1, С. 7.
- 3. Miyoshi T. et al., // Trans. Jap. Soc. Mech. Eng. V. 51A. P. 2489 (1989).
- Nishida T., Hanaki Y., Pezzotti G. // J. Amer. Ceram. Soc. V. 77. N 2. P. 606 (1994).
- Anstis G.R., Chantikul P., Lawn B.R., Marshall D.B. // J. Amer. Ceram. Soc. V. 64. N 9.

- P. 333 (1981).
- 6. Пятыхин Л.И., Валько А.Г., Папиров И.И. Определение вязкости разрушения методом индентирования: Обзор. М.: ЦНИИатоминформ, 1987.
- 7. Владимиров В.И. Физическая природа разрушения металлов. М.: Металлургия, 1984.
- 8. Marshall D.B. James M.R. // J. Amer. Ceram. Soc. V. 63. N 3. P. 215 (1986).

УЛК 537.311.3:546.883

ИССЛЕДОВАНИЕ ВЗАИМОДЕЙСТВИЙ В СИСТЕМЕ $MgO-La_3TaO_7$ ПРИ ВЫСОКИХ ТЕМПЕРАТУРАХ

© Канд. хим. наук А.П. Пивоварова, д-р техн. наук В.И. Страхов

Санк-Петербургский государственный технологический институт (Технический университет)



А.П. Пивоварова

По результатам рентгенофазового и ИК-спектроскопического анализов построена диаграмма состояния системы ${\rm MgO-La_3TaO_7}$ при температурах выше $1200^{\circ}{\rm C.}$ Установлено образование соединения ${\rm LaMg_{2/3}Ta_{1/3}O_3}$ со структурой перовскита, с параметром кубической элементарной ячейки $a=7,998\pm0,005$ Å. Соединение плавится конгруэнтно при температуре $1900^{\circ}{\rm C.}$

Тройная система $MgO-La_2O_3-Ta_2O_5$ представляет интерес с точки зрения получения новых керамических материалов с ценными техническими свойствами, так как известно, что танталаты шелочноземельных и P39, а также соответствующие оксиды обладают высокой тугоплавкостью, повышенной

химической и радиационной стойкостью, низкими диэлектрическими потерями, являются хорошими изоляторами. Однако сложные танталаты щелочноземельных и P39 изучены недостаточно, а данные по фазообразованию в системе $MgO-La_2O_3-Ta_2O_5$ в литературе полностью отсутствуют.